

# StudentZone—2020年6月 ADALM2000による実習: NPN トランジスタで構成した エミッタ接地回路

著者: Doug Mercer、コンサルティング・フェロー Antoniu Miclaus、システム・アプリケーション・エンジニア

#### 目的

今回は、バイポーラ・トランジスタ (BJT) を使用して構成した エミッタ接地回路について検討します。

#### 背景

1段構成の基本的なアンプのトポロジは、3種に分類できます。 そのうちの1つがエミッタ接地回路です。バイポーラ・トランジ スタを使用する場合、電圧を反転増幅するアンプ回路として機能 します。トランジスタのベース端子が入力、コレクタ端子が出力 です。入力と出力に対し、エミッタが共通に使われる(グラウン ドまたは電源に接続)ことから、共通エミッタ・アンプと呼ばれ ることもあります。

#### 準備するもの

- ▶ アクティブ・ラーニング・モジュール「ADALM2000」
- ▶ ソルダーレス・ブレッドボード
- ▶ 抵抗:5個
- 可変抵抗 (ポテンショメータ):50k Ω (1 個)
- ▶ 小信号 NPN トランジスタ: [2N3904] (1個)

#### 説明

図1に示した回路は、NPNトランジスタをエミッタ接地で使用す る例です。出力負荷抵抗R」は、エミッタ電流I。に対して、V<sub>CF</sub>に 現れる電圧が正の電源電圧V。(5V)の約1/2になるように選択 します。また、可変抵抗 $R_{POT}$ と抵抗 $R_{B}$ により、NPNトランジス タQ1のバイアス動作点I<sub>b</sub>を設定し、I<sub>c</sub>が所望の値になるように します。抵抗R1、R2で構成した分圧回路は、ADALM2000の 任意波形ジェネレータ (AWGのW1) からの入力信号が十分に 減衰されるように選択します。このように構成するのは、Q1の ベースに現れる信号V<sub>BE</sub>がやや小さくなるので、それを観測しや すくするためです。減衰されたW1の信号は、4.7 μFのコンデ ンサを介してQ1のベースにAC結合されます。それにより、DC バイアスに影響が及ばないようにします。

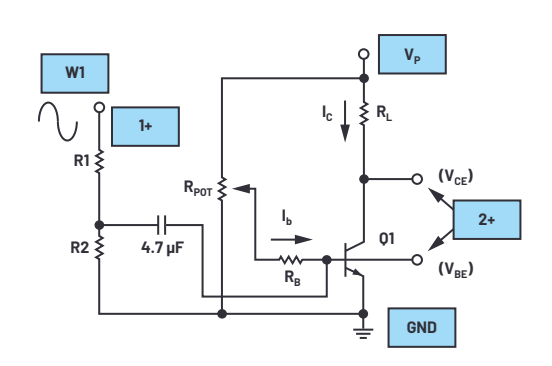


図 1. NPN トランジスタを使用して構成したエミッタ接地回路

#### ハードウェアの設定

AWGのW1は、ピークtoピークの振幅が3V、オフセットが OV、周波数が1kHzの正弦波を生成するように設定します。オシ ロスコープのチャンネル1 (1+) は、W1の出力を表示するよう に接続します。チャンネル2(2+)は、Q1のベースとコレクタ における波形を交互に測定するために使用します。









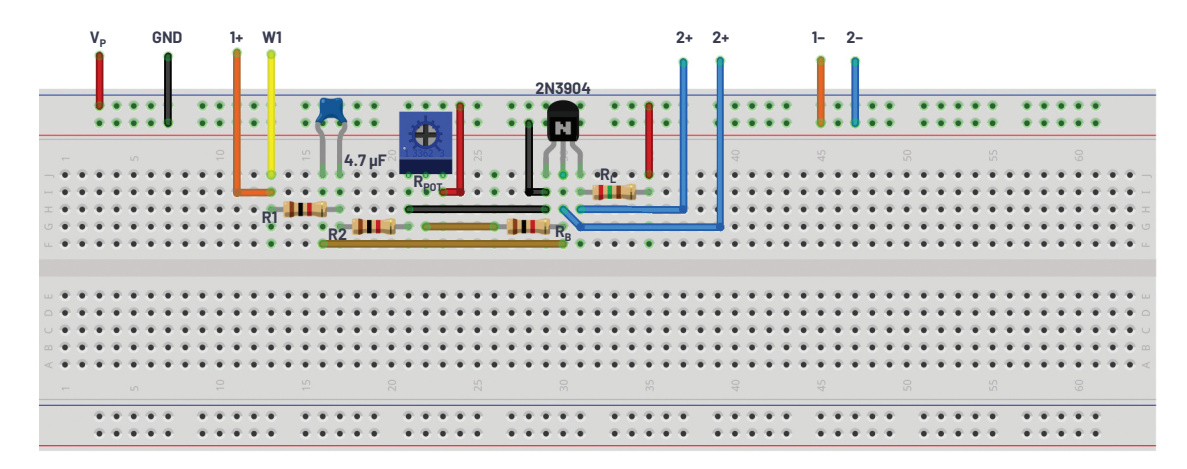


図2. 図1の回路を実装したブレッドボード

## 手順

Q1のコレクタに接続した電源 $V_p$  (5V) をオンにします。オシロスコープは、数周期分の入力信号と出力信号が表示されるように設定します。

図3、図4は、LTspice $^{\$}$ によって図1の回路のシミュレーションを行った結果です。

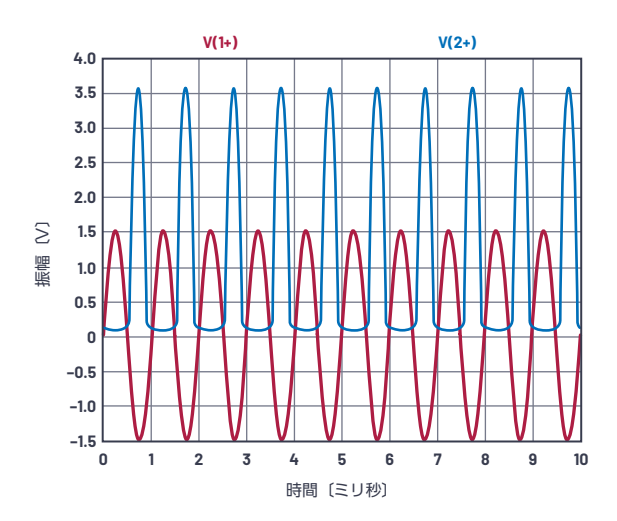


図3. 図1の回路における $V_{IN}$ と $V_{CE}$ のシミュレーション結果

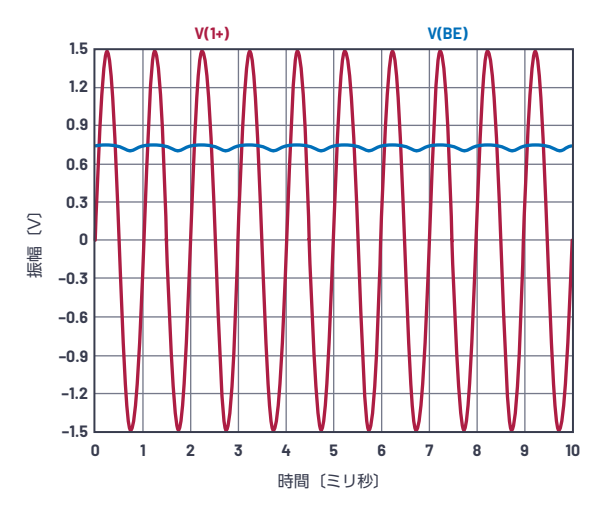


図4. 図1の回路における $V_{IN}$ と $V_{BE}$ のシミュレーション結果

エミッタ接地回路の電圧ゲインAは、小信号等価モデルにおけるエミッタ抵抗 $r_e$ に対する負荷抵抗 $R_L$ の比で表されます。トランジスタのトランスコンダクタンス $g_m$ は、コレクタ電流 $I_c$ と熱電圧と呼ばれるkT/qの関数となります(以下参照)。

$$g_m = \frac{1}{r_e} = \frac{-qI_c}{kT} \tag{1}$$

ここで、kT/qの値は室温で約25mVまたは26mVに近似できます。

エミッタ抵抗 $r_e$ の値は  $1/g_m$ で、エミッタと直列に存在すると見なすことができます。信号をベースに印加すると、 $r_e$ と $R_L$ には (ベース電流を無視すると) 同じ値の電流が流れます。したがって、ゲインAは以下の式で表せます。

$$A = \frac{-R_L}{r_e} = \frac{-qI_cR_L}{kT} \tag{2}$$

図5に示したのは、エミッタ接地回路のもう1つの構成例です。 図1の回路と大きな違いがあるわけではありませんが、小さなメリットが2つあります。1つは、ベース電流のバイアスが、ベース電圧VBEの指数関数に依存しないことです。もう1つは、W1からの小振幅のAC信号が、ベース用のバイアス回路とは独立して加算されることです。つまり、AC結合は必要ありません。小振幅のAC信号はオペアンプの非反転端子に入力され、負帰還によってQ1のベース(オペアンプの反転入力)にも現れます。

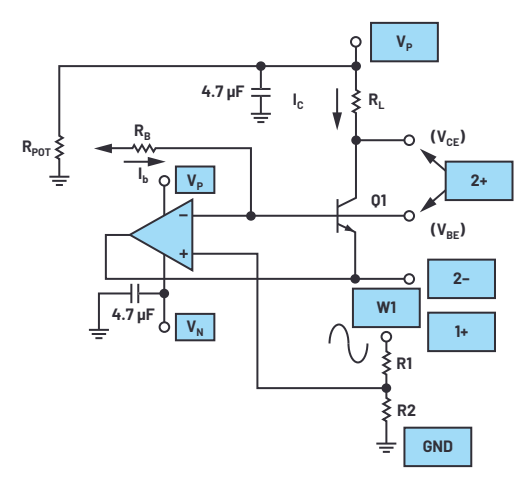


図5. エミッタ接地回路のもう1つの構成例

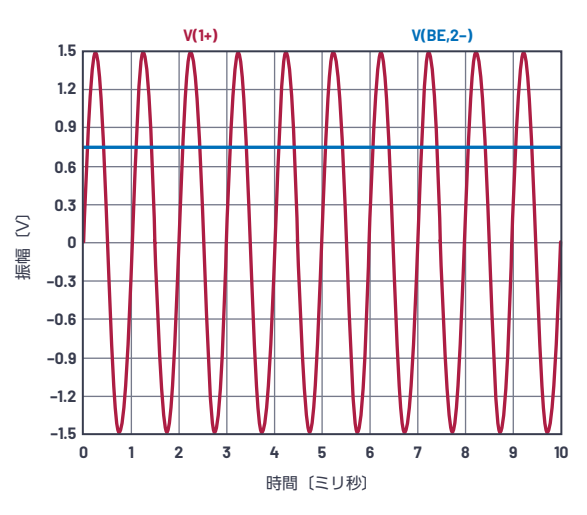


図7. 図5の回路における $V_{IN}$ と $V_{EE}$ のシミュレーション結果

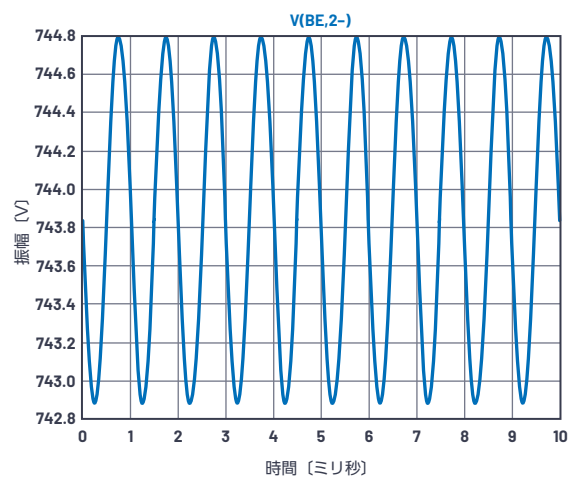


図8. 図5の回路における V<sub>BE</sub>の拡大表示

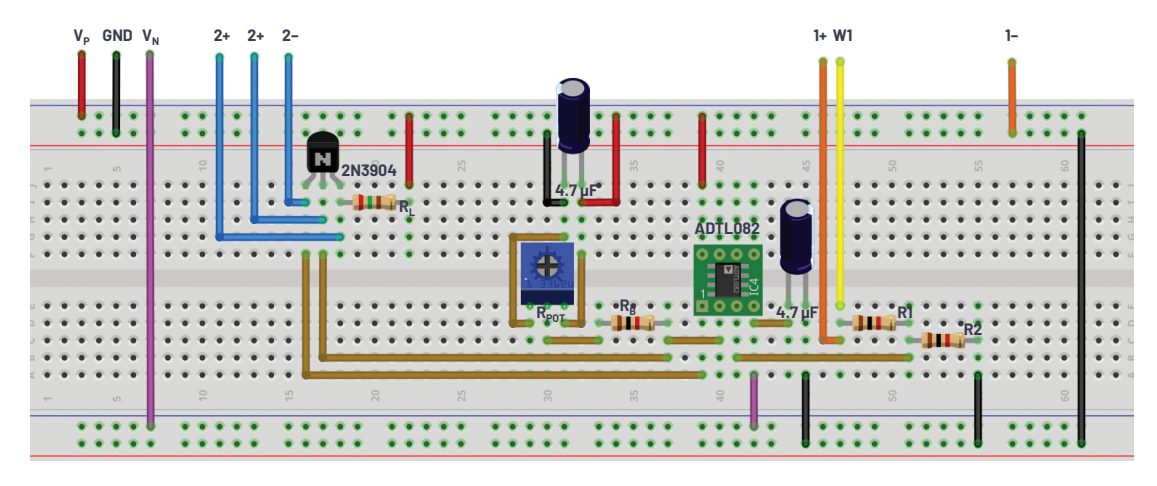


図6. 図5の回路を実装したブレッドボード

# 負帰還による自己バイアス回路

続いて、負帰還の追加により得られる効果について検討してみます。

# 目的

ここで検討するのは、負帰還の追加により、DC動作点がどのように安定化されるのかということです。トランジスタ回路で最もよく用いられるバイアス回路の1つが、自己バイアス方式のエミッタ用バイアス回路です。この回路では、1つ以上のバイアス抵抗を使用し、トランジスタに関する3つの電流I<sub>B</sub>、I<sub>C</sub>、I<sub>E</sub>の初期DC値を設定します。

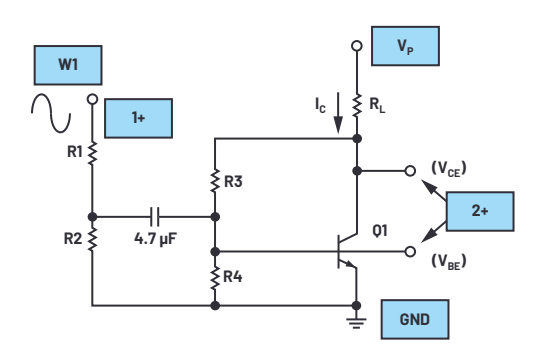


図9. 自己バイアス回路を適用したエミッタ接地回路

# ハードウェアの設定

AWGのW1は、ピークtoピークの振幅が3V、オフセットが0V、周波数が1kHzの正弦波を生成するように設定します。オシロスコープのチャンネル1(1+)は、W1の出力を表示するように接続します。チャンネル2(2+)は、Q1のベースとコレクタにおける波形を交互に測定するために使用します。

## 手順

Q1のコレクタに接続されている電源  $V_p$  (5V) をオンにします。 オシロスコープは、数周期分の入力信号と出力信号が表示される ように設定します。 図11、図12は、LTspiceによって図9の回路のシミュレーションを行った結果です。

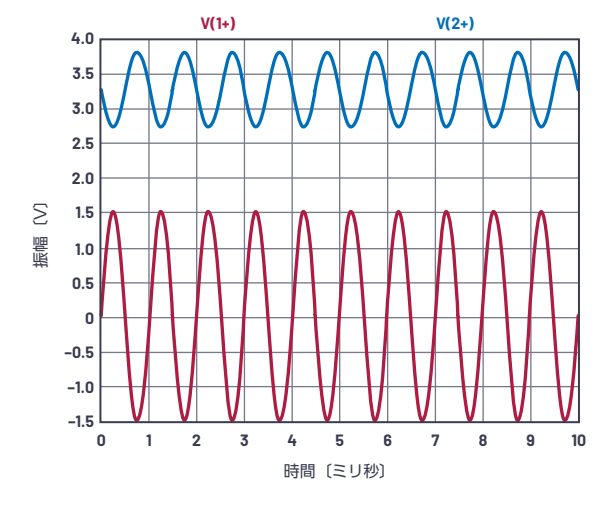


図11. 図9の回路の $V_{IN}$ と $V_{CE}$ のシミュレーション結果

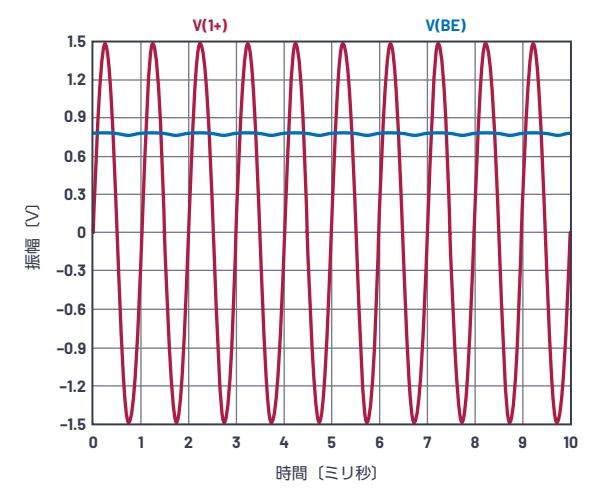


図12. 図9の回路の $V_{IN}$ と $V_{BE}$ のシミュレーション結果

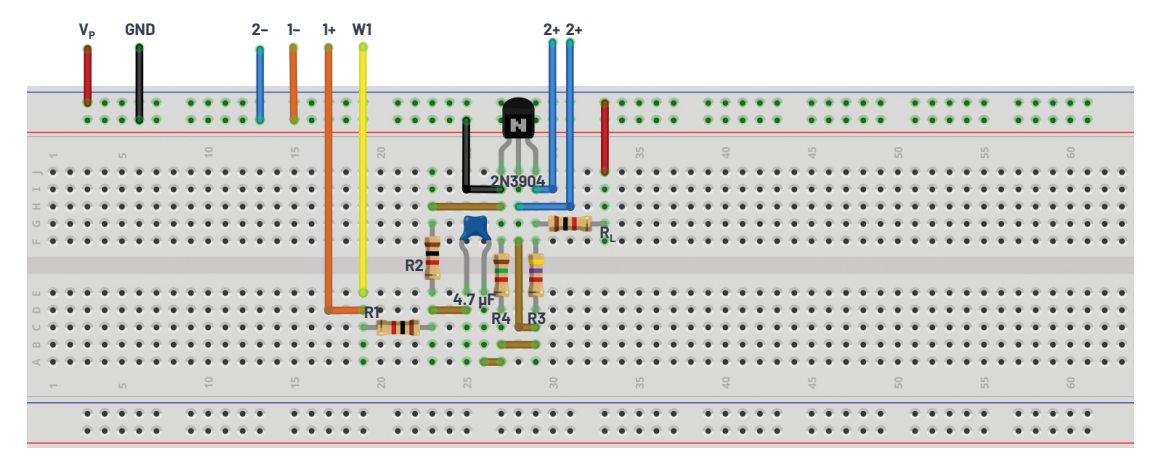


図10. 図9の回路を実装したブレッドボード

# エミッタ・ディジェネレーションの追加

続いて、エミッタ・ディジェネレーションの例を示します。

#### 目的

ここでは、エミッタ・ディジェネレーション用の回路を追加します。それによって得られる効果について調べてみましょう。

# 背景

エミッタ接地回路を使えば、非常にゲインが高い反転増幅回路を構成できます。但し、使用するトランジスタによっては、かなりのばらつきが生じる場合があります。ゲインは、温度とバイアス電流に大きく依存します。そのため、実際のゲインを予測するのは困難です。この問題は、値の小さい帰還抵抗をアンプ段に追加することにより解消することができます。つまり、回路の性能を改善することが可能になります。

# 追加で準備するもの

エミッタ・ディジェネレーションを施した回路を構成するために、 追加の部品を使用します。

可変抵抗(ポテンショメータ):5k Ω (1 個)

## 説明

図 13 に示すように、Q1のエミッタをグラウンドから切り離し、 $5k\Omega$ の可変抵抗 $R_E$ を追加します。Q1のコレクタに出力信号が現れるのを確認しつつ、 $R_E$ の値を調整します。

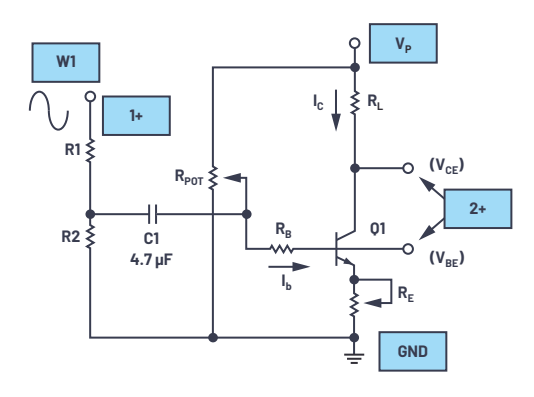


図 13. エミッタ・ディジェネレーションを施した回路

#### ハードウェアの設定

AWGのW1は、ピークtoピークの振幅が3V、オフセットが0V、周波数が1kHzの正弦波を生成するように設定します。オシロスコープのチャンネル1(1+)は、W1の出力を表示するように接続します。チャンネル2(2+)は、Q1のベースとコレクタにおける波形を交互に測定するために使用します。

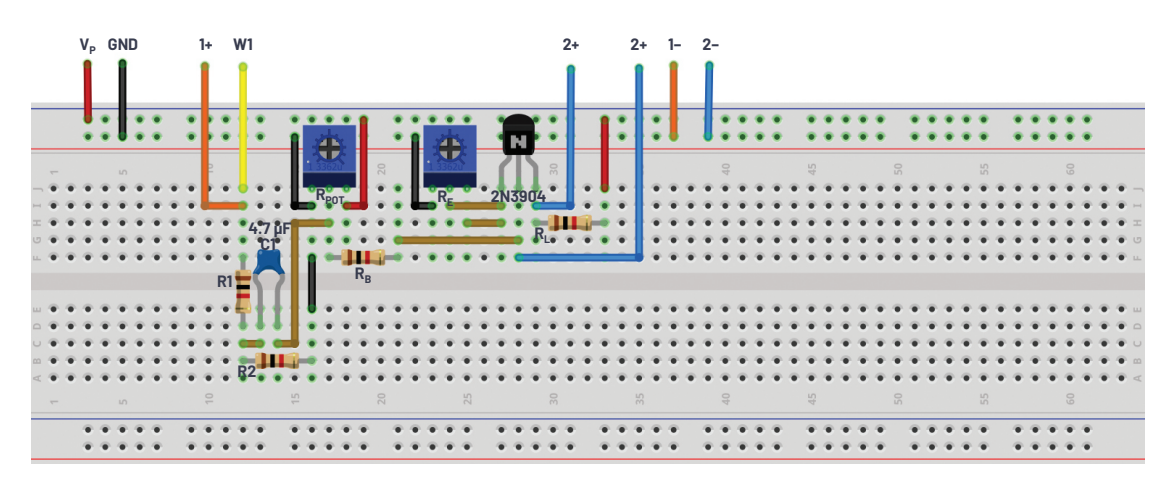


図14. 図13の回路を実装したブレッドボード

## 手順

Q1のコレクタに接続されている電源  $V_p$  (5V) をオンにします。 オシロスコープは、数周期分の入力信号と出力信号が表示される ように設定します。

図15、図16は、LTspiceによって図13の回路のシミュレーションを行った結果です。

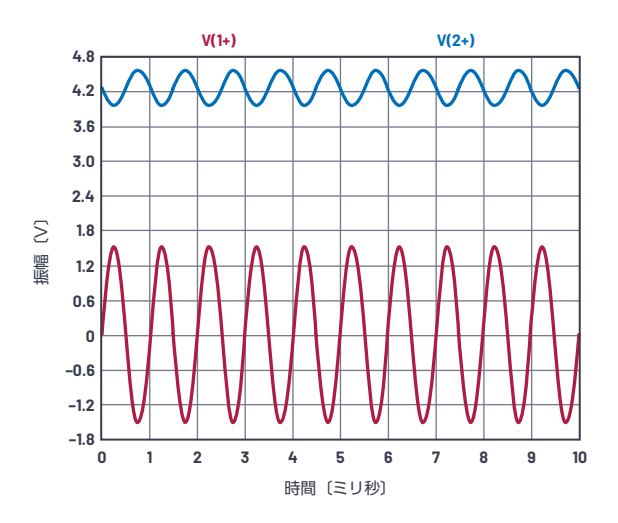


図15. 図13の回路の $V_{IN}$ と $V_{CE}$ のシミュレーション結果

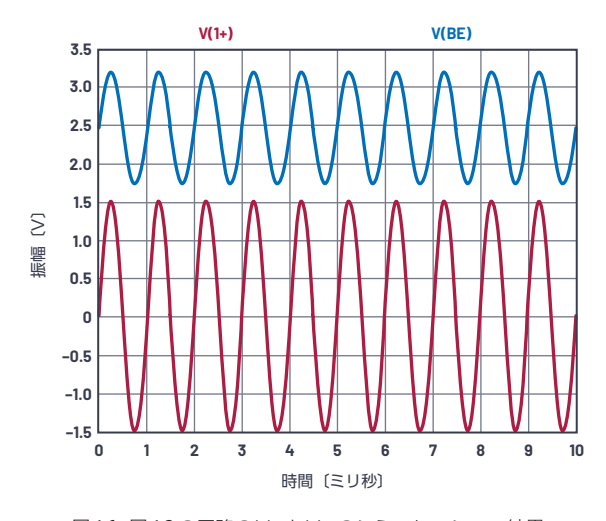


図 16. 図 13の回路の  $V_{IN}$  と  $V_{BE}$  のシミュレーション結果

# エミッタ・ディジェネレーションによる AC ゲインの変化

エミッタ・ディジェネレーション用の抵抗を追加すると、DC動作点の安定性が高まります。その代わりに、アンプ回路としてのゲインが低下します。この問題に対応するためには、図17に示すようにコンデンサC2を $R_E$ と並列に追加します。そうすることで、AC信号に対するゲインをいくらか高めることができます。

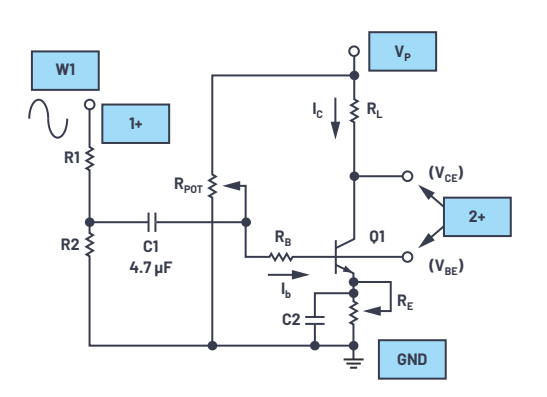


図17.C2を追加してACゲインを高めた回路

## ハードウェアの設定

AWGのW1は、ピークtoピークの振幅が3V、オフセットが0V、周波数が1kHzの正弦波を生成するように設定します。オシロスコープのチャンネル1(1+)は、W1の出力を表示するように接続します。チャンネル2(2+)は、Q1のベースとコレクタにおける波形を交互に測定するために使用します。

#### 手順

Q1のコレクタに接続されている電源 $V_p$  (5V) をオンにします。 オシロスコープは、数周期分の入力信号と出力信号が表示される ように設定します。

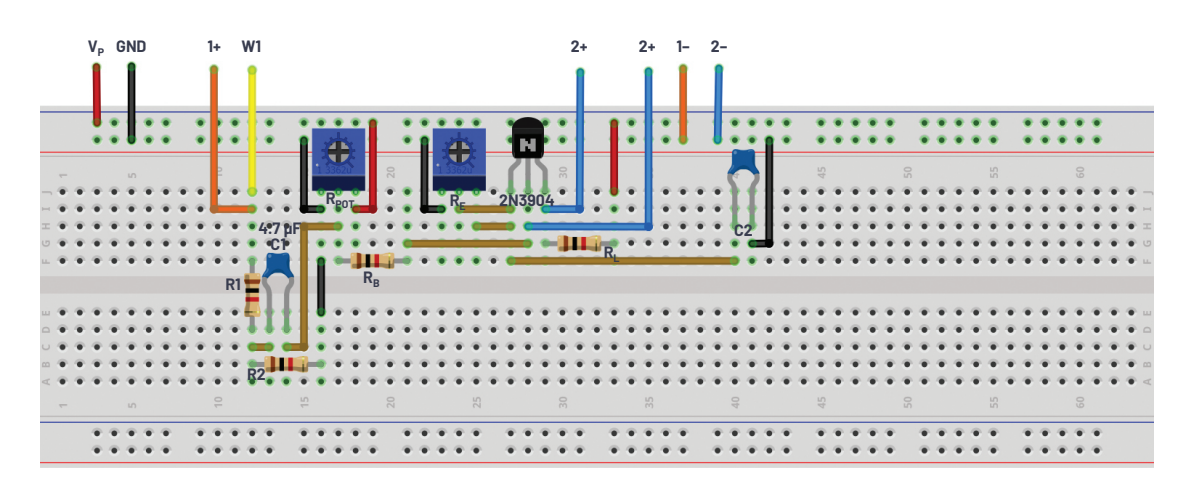


図18. 図17の回路を実装したブレッドボード

図19、図20は、LTspiceによって図17の回路のシミュレーションを行った結果です。

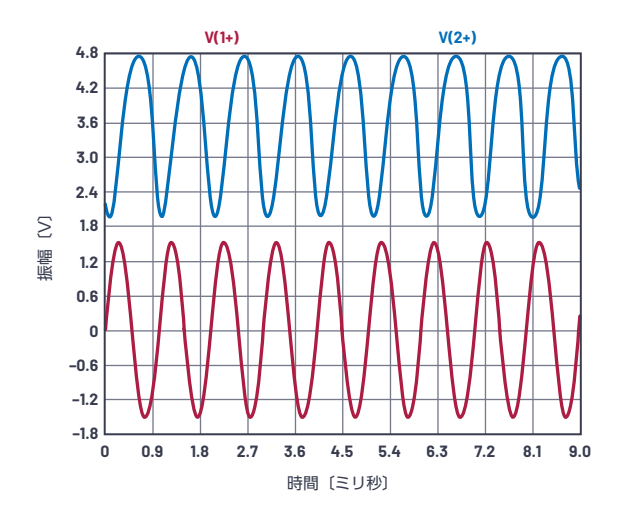


図 19. 図 17 の回路の  $V_{IN}$  と $V_{CF}$  のシミュレーション結果

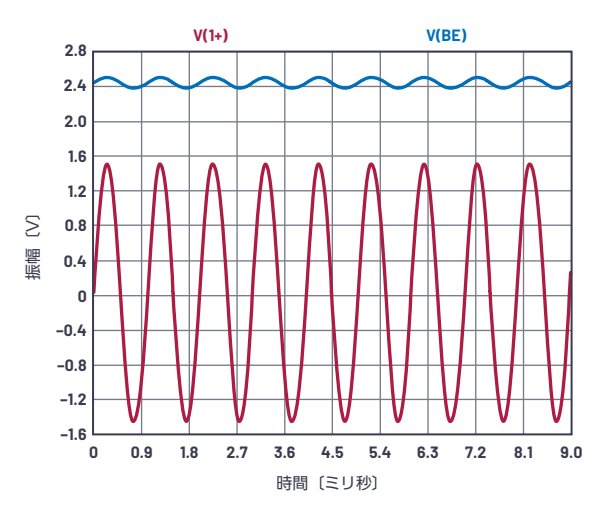


図 20. 図 17の回路の  $V_{IN}$  と  $V_{BE}$  のシミュレーション結果

#### 問題

▶ エミッタ接地回路において、R<sub>L</sub>の値を大きくすると、電圧ゲイン A にはどのような影響が生じますか。

答えはStudentZoneで確認できます。



## 著者について

Doug Mercer (doug.mercer@analog.com) は、1977年にレンセラー工科大学で電気電子工学の学士号を取得しました。同年にアナログ・デバイセズに入社して以来、直接または間接的に30種以上のデータ・コンバータ製品の開発に携わりました。また、13件の特許を保有しています。1995年にはアナログ・デバイセズのフェローに任命されました。2009年にフルタイム勤務からは退きましたが、名誉フェローとして仕事を続けており、Active Learning Programにもかかわっています。2016年に、レンセラー工科大学 電気/コンピュータ/システム・エンジニアリング学部のEngineer in Residence に指名されました。



# 著者について

Antoniu Miclaus (antoniu.miclaus@analog.com) は、アナログ・デバイセズのシステム・アプリケーション・エンジニアです。アカデミック・プログラムや、Circuits from the Lab<sup>®</sup>向けの組み込みソフトウェア、QAプロセス・マネジメントなどに携わっています。2017年2月から、ルーマニアのクルジュナポカで勤務しています。現在、バベシュボヨイ大学においてソフトウェア・エンジニアリングに関する修士課程にも取り組んでいます。また、クルジュナポカ技術大学で電子工学と通信工学の学士号を取得しています。

